

# TP Physique Quantique Préparatoire

## 1 Etude préliminaire

1. Puit de potentiel infini :

Région extérieure au puit : comme  $V = +\infty$  la seule solution physiquement acceptable est

$$\phi(x) = 0$$

Région intérieure : Ici  $H_0 = \frac{-\hbar^2}{2m} \frac{d^2}{dx^2}$

En posant  $k = \sqrt{\frac{2mE}{\hbar^2}}$ , l'équation de Schrödinger a pour solution :

$$\phi(x) = A \exp\{ikx\} + A' \exp\{-ikx\}$$

Les conditions limites donnent  $2i \sin ka = 0$

$k$  est donc quantifié avec :  $k_n = \frac{n\pi}{a}$ ,  $n$  entier strictement positif.

Finalement après normalisation on trouve :

$$\phi(x) = \sqrt{\frac{2}{a}} i \sin \frac{n\pi}{a} x$$

$$E_n^{(0)} = n^2 \frac{\pi^2 \hbar^2}{2ma^2} = n^2 E_1^{(0)}$$

2. On écrit l'équation aux valeurs propres :

$$H |\Psi\rangle = E |\Psi\rangle$$

$$\sum_{m=1}^{+\infty} c_m H |\phi_m\rangle = \sum_{m=1}^{+\infty} c_m E |\phi_m\rangle$$

On fait le produit scalaire avec  $\langle \phi_n |$  :

$$\sum_{m=1}^{+\infty} c_m \underbrace{\langle \phi_n | H | \phi_m \rangle}_{\text{par définition : } H_{nm}} = \sum_{m=1}^{+\infty} E c_m \underbrace{\langle \phi_n | \phi_m \rangle}_{\text{par définition : } \delta_{nm}}$$

D'où :

$$\sum_{m=1}^{+\infty} c_m H_{nm} = E c_n \quad (1)$$

3. a)

$$\nu_{OH} = \frac{V_{OH}}{E_1^{(0)}} = \frac{V_{OH}}{E_1^{(0)2}} \frac{\pi^2 \hbar^2}{2ma}$$

D'où

$$\nu_{OH} = \left( \frac{\pi \hbar \omega}{2E_1^{(0)}} \right)^2 \left( \frac{x}{a} - \frac{1}{2} \right) \quad (2)$$

b) on écrit la définition des coefficients **H** normalisés

D'une part :

$$\delta_{nm} \frac{E_n^0}{E_1^0} = n^2 \delta_{nm} \frac{E_1^0}{E_1^0} = n^2 \delta_{nm}$$

D'autre part, en posant  $x' = \frac{x}{a}$  :

$$\frac{2}{a} \int_0^a \sin\left(\frac{n\pi x}{a}\right) \frac{V_{OH}}{E_1^0} \sin\left(\frac{m\pi x}{a}\right) dx = 2 \int_0^1 \sin(n\pi x') \nu_{OH} \sin(m\pi x') dx'$$

En combinant les deux résultats, on obtient bien :

$$h_{nm} = n^2 \delta_{nm} + 2 \int_0^1 \sin(n\pi x') \nu_{OH} \sin(m\pi x') dx' \quad (3)$$

4.  $R$  représente le rapport entre le niveau fondamental du puits de potentiel et l'énergie caractéristique quantique harmonique.

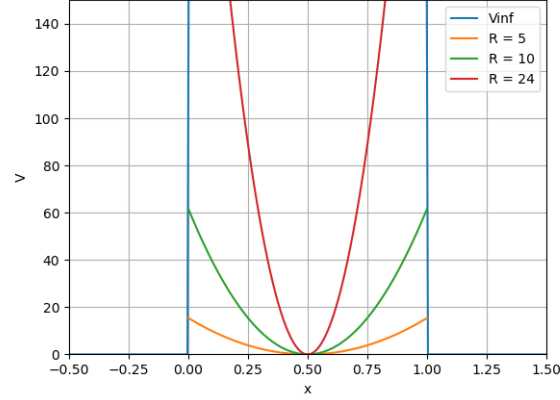


FIGURE 1: Potentiel harmonique pour différents  $R$

On observe que plus  $R$  est petit, plus le caractère harmonique de l'Hamiltonien est négligeable devant le caractère de puits infini.

## 2 Résolution numérique

1. L'algorithme codé en python renvoie l'hamiltonien normalisé et adimensionné suivant :

$$h = \begin{pmatrix} 47.4352528 & 0 & 54 & 0 & 10 & 0 \\ 0 & 104.435252 & 0 & 64 & 0 & 13.5 \\ 54 & 0 & 119.435252 & 0 & 67.5 & 0 \\ 0 & 64 & 0 & 129.935252 & 0 & 69.12 \\ 10 & 0 & 67.5 & 0 & 140.555252 & 0 \\ 0 & 13.5 & 0 & 69.12 & 0 & 52.4352528 \end{pmatrix} \quad (4)$$

Et l'on a donc :

$$H = E_1^0 h \quad (5)$$

Un coefficient non diagonal sur deux est nul car l'intégrande peut être impaire par rapport à  $\frac{a}{2}$ , annulant ainsi l'intégral. Dans le programme, on a mis la valeur 0 au coefficient dont la valeur était inférieure à la précision de la fonction quad du module scipy.integrate.

2. a) b) On a calculé les valeurs propres  $\epsilon(n)$  et on les a tracés en fonction de  $n$ , comme vu sur la figure suivante :

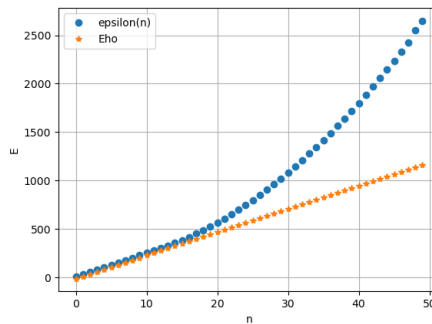


FIGURE 2: Graphe de  $\epsilon(n)$  et de l'énergie de l'oscillateur harmonique

Dans la zone  $n \in [1, 15]$ , on observe que la courbe calculé coïncide avec la courbe de l'oscillateur harmonique, ce qui est en accord avec le fait qu'à basse energie, le potentiel harmonique l'emporte.

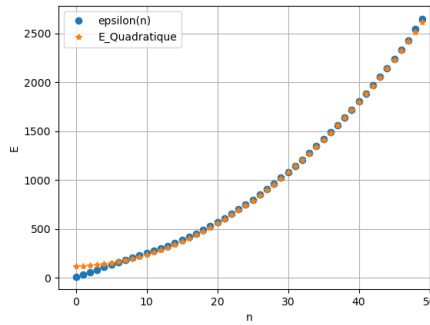
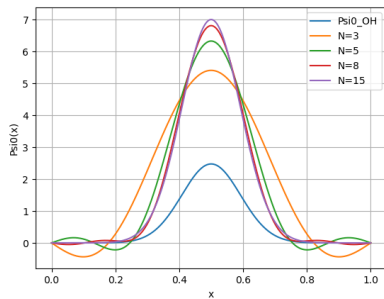


FIGURE 3: Graphe de  $\epsilon(n)$  et de la modélisation

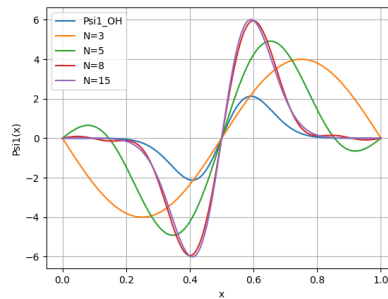
Le modèle de puit infini est plus correcte pour des valeurs de  $n$  grandes. Ce qui semble logique, plus la particule est haute dans le puit, moins la partie harmonique du potentiel joue sur son energie. On à donc deux zones : si  $n \leq 15$  le potentiel harmonique l'emporte si  $n \geq 15$  le potentiel du puit infini l'emporte.

Le programme Python donne  $C = 116.0950616766584$

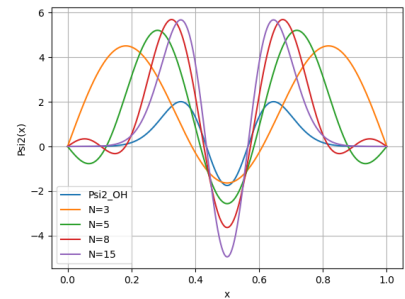
3. On a résolu numériquement (algorithmes en annexes) pour trouver les fonctions d'ondes de  $x$ , mais la résolution colle peu aux courbes théoriques :



(a)  $\Psi_2(x)$



(b)  $\Psi_2(x)$



(c)  $\Psi_2(x)$

FIGURE 4: tracé des  $\Psi(x)$  pour différent  $N, n$  et comparaison avec les fonctions trouvées analytiquement

On vérifie une correspondance entre la courbe théorique et les courbes trouvés numériquement. Les amplitudes sont différentes car il faudrait normaliser les fonctions calculées.